

# ЭКСПЕРИМЕНТАЛЬНОЕ НАБЛЮДЕНИЕ СВЕРХПРОВОДЯЩЕЙ ФАЗЫ С $T_c \approx 8,5$ К В БОЛЬШЕУГЛОВЫХ БИКРИСТАЛЛАХ ВИСМУТА

*Д.В.Гицу, А.Д.Грозав, В.Г.Кистол, Н.И.Лепорда, Ф.М.Мунтяну*

*Институт прикладной физики АН Молдовы,  
277028, Кишинев*

Поступила в редакцию 20 февраля 1992 г.

Вблизи поверхности сращивания бикристаллов висмута с углами наклона  $32^\circ \leq \theta \leq 62^\circ$  обнаружены сверхпроводящие включения с критической температурой  $T_c \approx 8,5$  К, верхним критическим полем  $H_{c2}^{\parallel} \approx 25$  кЭ и длиной когерентности  $\xi \approx 120$  Å.

Особый интерес к изучению физических свойств бикристаллов возник в связи с идеей о возможной реализации в таких объектах "экзитонного" механизма высокотемпературной сверхпроводимости<sup>1,2</sup>. Хотя экспериментальные поиски "экзитонной" сверхпроводимости и не привели к положительным результатам, тем не менее бикристаллы оказались удобными объектами при исследовании сверхпроводимости плоскостей двойникования в металлах<sup>3</sup>, электронных свойств слоев пространственного заряда в полупроводниках<sup>4</sup>, etc.

В данной работе сообщается о наблюдении в большеугловых ( $36^\circ \leq \theta \leq 62^\circ$ ) бикристаллах из чистого висмута сверхпроводящих областей, которые вызывают появление аномалий как на зависимостях сопротивления от температуры  $R(T)$  и магнитного поля  $R(H)$ , так и на вольтамперных характеристиках (ВАХ). Температуры появления аномалий на кривых  $R(T)$  и ВАХ практически совпадают и равны критической температуре  $T_c \approx 8,5$  К, определенной с помощью экстраполяции температурной зависимости верхнего критического поля  $H_{c2}(T)$ . Насколько нам известно, это первое сообщение о наблюдении у висмутовых образцов стабильных сверхпроводящих свойств при температурах выше 6 К без использования внешних давлений.

Бикристаллы висмута были получены методом зонной перекристаллизации с применением двойной затравки. Изучались образцы, у которых углы наклона между осями  $C_3$  кристаллитов находились в интервале  $8^\circ \leq \theta \leq 62^\circ$ . При этом кристаллиты были развернуты друг относительно друга вокруг нормали к межкристаллитной границе (МКГ) раздела  $G$  на угол  $0 \leq \varphi \leq 9^\circ$ <sup>5</sup>. Измерения проводились на постоянном токе ( $I \perp G$ ) стандартным четырехконтактным способом в диапазоне температур 4,2 – 300 К.

Исходя из величины угла  $\theta$  и вида температурной зависимости сопротивления (рис.1), исследованные образцы были условно подразделены на два типа: бикристаллы типа *A*, имеющие, как правило, углы наклона кристаллитов больше  $30^\circ$  и немонотонную зависимость  $R(T)$  и бикристаллы типа *B* ( $\theta \leq 30^\circ$ ), обладающие типичным для однородных массивных образцов Bi металлическим ходом сопротивления ( $dR/dT > 0$ ). Как следует из рис.1, характерными особенностями образцов *A*-типа являются малые значения отношения  $\alpha = R(300\text{K})/R(10\text{K}) \approx 1 - 1,5$  и инверсия знака производной  $dR/dT$  (особенность типа минимум) при  $T = T_{min} \approx 150 - 180$  К.

Для бикристаллов типа *A* при  $T < 9$  К обнаруживается скачкообразное уменьшение сопротивления в узком интервале температур ( $\Delta T < 1$  К). Относительная величина скачка сопротивления  $\delta = [R(10\text{K}) - R(5\text{K})]/R(5\text{K})$  может достигать 700%. При этом величина  $\delta$  тем больше, чем меньше  $R(T_{min})/R(300\text{K})$ .

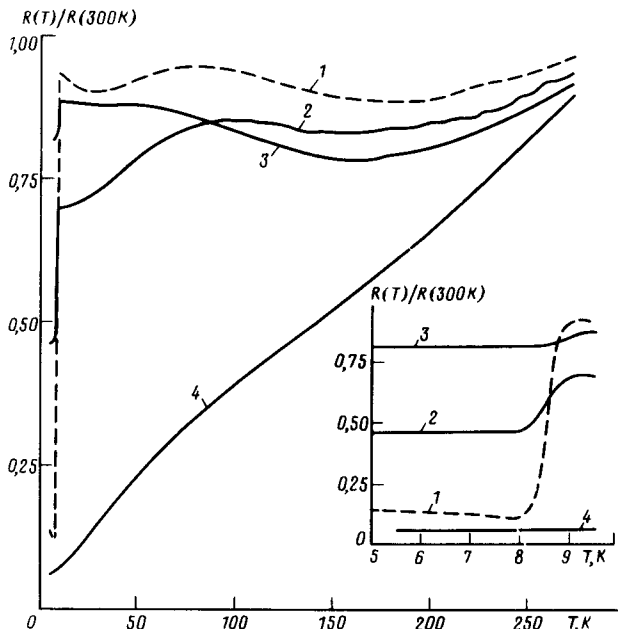


Рис.1. Температурные зависимости сопротивления для трех бикристаллов А-типа (1, 2, 3) и одного - В-типа (4). Образцы имеют следующие параметры (в последовательности  $\theta, \varphi, \alpha, \delta$ ):  
 1 - Bi-1A ( $62^\circ; 2^\circ; 1,08; 6,83$ );  
 2 - Bi-2A ( $33^\circ; 9^\circ; 1,44; 0,51$ );  
 3 - Bi-3A ( $56^\circ; 6^\circ; 1,14; 0,08$ );  
 4 - Bi-4B ( $8^\circ; 0^\circ; 12,9$ , скачок отсутствует). На вставке показано низкотемпературное поведение сопротивления тех же образцов в увеличенном масштабе

Независимо от угла наклона кристаллитов, резкое увеличение проводимости происходит практически при одной и той же критической температуре  $T_c = T(0, 98) = 8,5 \pm 0,2$  К. Следует отметить, что величина  $T_c$  не зависит от того, при нагревании или при охлаждении образца записаны кривые  $R(T)$ . Для бикристаллов В-типа, у которых обычно  $\alpha > 10$ , в поведении зависимостей  $R(T)$  не обнаружено каких-либо четко выраженных особенностей.

Одной из причин аномального возрастания проводимости образцов А-типа может быть существование вблизи высокоугловой поверхности сращивания кристаллитов сверхпроводящей фазы с  $T_c = 8,5$  К (ненулевое сопротивление при  $T < T_c$  отражает неоднородность МКГ бикристаллов Bi). Такое предположение подтверждается и другими измерениями.

На рис.2 приведены изотермы магнитосопротивления  $r(H)|_T = [R(H, T) - R(0, T)]/R(0, T)$ , полученные в продольных магнитных полях  $I \parallel H \perp G$  для одного из бикристаллов А-типа. По мере увеличения  $H$  магнитосопротивление испытывает переход на общий для всех температур уровень  $r(H) \simeq r_N$ . Как и для традиционных сверхпроводников<sup>6</sup>, форма основной части резистивного перехода ( $0,4r_N \leq r \leq 0,9r_N$ ) в магнитном поле не изменяется при увеличении температуры. Последнее позволяет определить температурный наклон верхнего критического поля  $dH_{c2}^{\parallel}/dT$ , используя стандартные критерии: по середине кривых перехода или по уровню  $0,9r_N$  (см. вставку на рис.2). Значения производных  $|dH_{c2}^{\parallel}/dT|_{0,5r_N}$  и  $|dH_{c2}^{\parallel}/dT|_{0,9r_N}$  совпадают и равны  $3\text{ кЭ/К}$ . Из зависимости  $H_{c2}^{\parallel}(T)$ , построенной по критерию  $0,9r_N$ , получается  $H_{c2}^{\parallel}(0) \simeq 25\text{ кЭ}$ , что очень близко к величине  $|dH_{c2}^{\parallel}/dT|_{T_c}$ . С помощью соотношения  $\xi^2(0) = \Phi_0/2\pi H_{c2}^{\parallel}(0)$ , где  $\Phi_0 = 2,07 \cdot 10^{-7}\text{ Гс}\cdot\text{см}^2$ , оценена длина когерентности  $\xi(0) \simeq 120\text{ \AA}$ .

В перпендикулярном по отношению к направлению тока магнитном поле резистивные переходы сильно размыты из-за маскирующего действия магнитосопротивления несверхпроводящего висмута, в силу чего корректное определение анизотропии верхних критических полей затруднено. Однако в этом случае

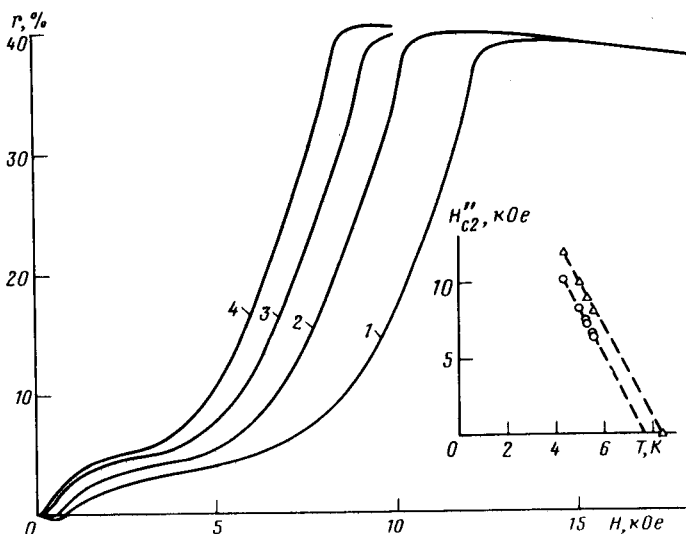


Рис.2. Изотермы зависимостей относительного изменения сопротивления от продольного магнитного поля ( $I \parallel H \perp G$ ) для бикристалла Bi-2A при температурах 4,32 К (1), 4,97 (2), 5,30 (3) и 5,56 К (4). На вставке показаны температурные зависимости верхнего критического поля  $H_{c2}''$ , определенные по уровням 0,9 $T_c$  ( $\Delta$ ) и 0,5 $T_c$  (0)

при  $H > 50$  кЭ удалось наблюдать хорошо выраженные квантовые осцилляции сопротивления как при параллельной ( $I \perp H \parallel G$ ), так и при поперечной ( $I \perp H \perp G$ ) относительно МКГ ориентации поля. Оказалось, что для бикристаллов типа A, в отличие от образцов B-типа, преобладают шубниковские осцилляции, периоды которых  $P^{\parallel, \perp}(1/H)$  меньше, чем минимально возможные периоды от электронной ( $0,53 \cdot 10^{-5}$  Э $^{-1}$ ) и дырочной ( $0,45 \cdot 10^{-5}$  Э $^{-1}$ ) частей поверхности Ферми однородного монокристалла висмута<sup>7</sup>. Например, образцам Bi-1A, Bi-2A, Bi-3A (см. рис.1) соответствуют  $p^{\parallel}(1/H) = 0,23 \cdot 10^{-5}$ ,  $0,34 \cdot 10^{-5}$ ,  $0,39 \cdot 10^{-5}$  Э $^{-1}$  и  $p^{\perp}(1/H) = (0,20 - 0,24) \cdot 10^{-5}$  Э $^{-1}$ . Согласно этим результатам, в большеугловых бикристаллах Bi существуют области с концентрацией носителей заряда  $n$  в 50 – 100 раз больше, чем в основной матрице у которой  $n = 3 \cdot 10^{17}$  см $^{-3}$ .

Были также измерены ВАХ бикристаллов Bi в режиме заданного тока в интервале  $I = 1 - 500$  мА. Примеры ВАХ, записанных при трех температурах близких к  $T_c$ , показаны на рис.3а. Видно, что при  $T < T_c$  на ВАХ отчетливо проявляется максимум дифференциального сопротивления  $dV/dI$  (рис.3б), положение которого на шкале напряжений  $V_g$  зависит от температуры при  $T \rightarrow T_c$  как  $V_g \sim (1 - T/T_c)^{1/2}$  (см. вставку на рис.3б).

Тут, видимо, стоит подчеркнуть, что полученные для бикристаллов A-типа ВАХ подобны тем, какие наблюдались у микроконтактов Bi-Bi<sup>8</sup> и Sb-Sb<sup>9</sup>. Сопоставление зависимостей  $V_g(T)$  с температурной зависимостью для энергетической щели  $\Delta(T)$  в модели БКШ позволило авторам<sup>8</sup> сделать вывод о присутствии в висмутовых микроконтактах сверхпроводящих кластеров с  $T_c \approx 3,9$  и 5,9 К.

Согласно<sup>6</sup> вблизи  $T_c$  зависимость параметра щели от температуры приблизительно описывается соотношением

$$\Delta(T) \simeq (7/4)\Delta(0)(1 - T/T_c)^{1/2}, \quad T \rightarrow T_c. \quad (1)$$

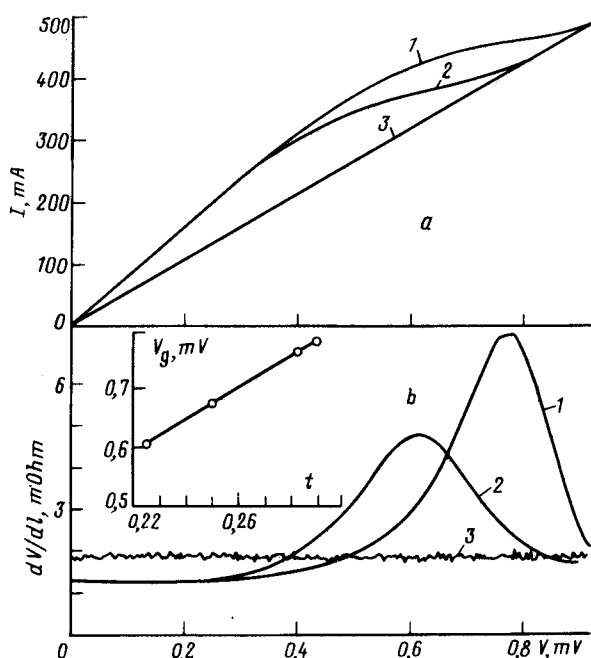


Рис.3. ВАХ (а) и их производные (б) для бикристалла Bi-2A при температурах 7,82 К (1), 8,07 К (2), 8,65 К (3). На вставке приведена зависимость положения максимума дифференциального сопротивления от параметра  $t = (1 - T/T_c)^{1/2}$

Исходя из полученной нами корневой зависимости  $V_g(T)$  в предположении, что к ней применимо соотношение (1), можно сделать оценку возможного значения для  $2\Delta(0) \approx 3,3$  мэВ, которая представляется вполне разумной для случая сильносвязанного сверхпроводника.

Факт наблюдения стабильных сверхпроводящих характеристик у кристаллических образцов Bi при атмосферном давлении отнюдь не тривиален (обычный ромбоэдрический Bi не является сверхпроводником). Возникновение куперовского спаривания носителей заряда в бикристаллических образцах, по-видимому, является следствием структурной перестройки решетки висмута (происходящей в областях, непосредственно примыкающим к высокоугловым МКГ) в результате взаимного прорастания кристаллитов или под воздействием сильных полей упругой деформации. В последнем случае можно ожидать, что за сверхпроводимость бикристаллов ответственна одна из фаз высокого давления BiII-BiVI<sup>10</sup>. Судя по величине  $T_c$ , таковой может быть BiIV ( $T_c = 8,7$  К при  $p = 4,3$  ГПа) или BiVI ( $T_c = 8,55$  К при  $p = 9,0$  ГПа).

Однако, неисключено, что сверхпроводимость вызвана сосредоточением остаточных примесей свинца (порядка  $10^{-4}$  атом.%) на МКГ бикристаллов висмута и образование включений  $\epsilon$ -фазы сплавов висмут-свинец.

Авторы выражают благодарность Л. Конопко и М. Ону за помощь в проведении экспериментов, В. Канцеру и В. Дедю за обсуждение работы.

1. В.Л.Гинзбург, УФН **95**, 91 (1968).
2. Б.М.Вул, Э.И.Заварицкая, ЖЭТФ **78**, 1089 (1976).
3. И.Н.Хлюстиков, А.И.Буздин, УФН **155**, 47 (1988).
4. Э.И.Заварицкая, ЖЭТФ **93**, 952 (1987).
5. F.M.Muntzavu, M.I.Otlu and V.G.Kistol, Phys. Stat. Sol. (b) **158**, 301 (1990).
6. М.Тинкхам, Введение в сверхпроводимость. М.: Атомиздат, 1980.
7. R.N.Bhargava, Phys. Rev. **156**, 785 (1967).
8. O.I.Shklyarevskii, A.M.Duif, A.G.M.Jansen and P.Wyder, Phys. Rev. B **34**, 1956 (1986).
9. О.И.Шкляревский, И.К.Янсон, Н.Н.Грибов, ФНТ **14**, 479 (1988).
10. Физико-химические основы получения сверхпроводящих материалов. Под. ред. Е.М.Савицкого, О.Хенкеля, Ю.В.Ефимова. М.: Металлургия, 1981.